

بررسی اثر کازئین فسفوپیتید آمورفوس کلسیم فسفات بر اتریشن مینا در محیط اسیدی

دکتر مریم غفورنیا^{*}، دکتر مریم حاج نوروز علی تهرانی^۱، دکتر پوران صمیمی^۲،
دکتر امید صوابی^۳، دکتر مصطفی رضایی فر^۴

چکیده

مقدمه: مطالعات نشان می‌دهند که کازئین فسفوپیتید آمورفوس کلسیم فسفات (CPP-ACP) علاوه بر این که به عنوان یک ماده رمینزالیزه کننده در پیشگیری از پوسیدگی‌های دندانی نقش دارد، می‌تواند دندان را در برابر اروژن نیز محافظت کند. هدف از انجام این مطالعه، بررسی اثر CPP-ACP در کاهش سایش مینا تحت شرایط اروژیو مقلد اتریشن و رژیم غذایی اسیدی بود.

مواد و روش‌ها: برای انجام این مطالعه آزمایشگاهی تجربی، نمونه‌های مینایی به میزان ۵۰۰۰ سیکل و تحت نیروی ۳ کیلوگرم و pH = ۳ (اسید سیتریک به عنوان محیط واسطه)، در دستگاه سایش تحت سایش اتریشن در ۲ گروه ۹ تایی آزمایش و شاهد قرار گرفت. نمونه‌ها در گروه آزمایش به مدت ۱۵ دقیقه تحت تأثیر خمیر CPP-ACP قرار گرفتند؛ در گروه شاهد نمونه‌ها تحت تأثیر هیچ ماده‌ای قرار نگرفتند. دستگاه سایش، هر ۱۰۰۰ سیکل خاموش شد و نمونه‌ها در هر گروه تحت تأثیر پروتکل مطالعه قرار گرفتند؛ این روند تا تکمیل ۵۰۰۰ سیکل، (در کل ۵ بار) تکرار گردید. دستگاه سایش، همزمان ضریب اصطکاک دینامیک نمونه‌ها را نیز ثبت می‌کرد. میزان سایش با استریومیکروسکوپ اندازه‌گیری شد. داده‌ها با روش‌های آماری t-test و آنالیز واریانس داده‌های مکرر توسط نرم‌افزار SPSS آنالیز گردید.

یافته‌ها: میانگین میزان سایش مینا در گروه آزمایش ($39/0.9 \pm 9/84$ میکرون در هر ۱۰۰۰ سیکل) به میزان قابل توجهی کمتر از گروه شاهد ($53/24 \pm 4/54$ میکرون در هر ۱۰۰۰ سیکل) بود ($p = 0/004$).

نتیجه‌گیری: کاربرد CPP-ACP به عنوان یک ماده بیواکتیو، سبب کاهش اتریشن مینا در محیط اسیدی می‌گردد. بررسی اثرات مفید این گونه مواد بیواکتیو در کنترل بالینی سایش مفید به نظر می‌رسد.

کلید واژه‌ها: CPP-ACP، مینا، اتریشن، اروژن.

* استادیار دندانپزشکی کودکان، دانشکده دندانپزشکی، دانشگاه علوم پزشکی شهری صدوقی بزد، ایران. (مؤلف مسؤول)
maryam_ghafournia@yahoo.com

: استادیار دندانپزشکی کودکان، دانشکده دندانپزشکی، دانشگاه علوم پزشکی اصفهان، اصفهان، ایران.

: دانشیار دندانپزشکی ترمیمی، دانشکده دندانپزشکی، دانشگاه علوم پزشکی اصفهان، اصفهان، ایران.

: دانشیار پروتزهای دندانی، دانشکده دندانپزشکی، دانشگاه علوم پزشکی اصفهان، اصفهان، ایران.

: متخصص دندانپزشکی کودکان، اصفهان، ایران.

این مقاله در تاریخ ۸۸/۷/۲۶ به دفتر مجله رسیده، در تاریخ ۸۸/۸/۲۷ اصلاح شده و در تاریخ ۸۸/۹/۱۷ تأیید گردیده است.

مجله دانشکده دندانپزشکی اصفهان
۲۱۹ تا ۲۱۲ (۴۵): ۱۳۸۸

مقدمه

GC Corporation,) Tooth Mousse به تازگی، ماده CPP-ACP (Japan) که عامل خد پوسیدگی رمینرالیزه کننده آن (کاژئین فسفوپیتید آمورفوس کلسیم فسفات) است، جهت کنترل اروژن دندانی پیشنهاد شده است[۱۸]؛ نشان داده شده است که CPP-ACP اروژن دندانی ناشی از اسید سیتریک[۱۹]، شراب سفید[۲۰] و نوشیدنی‌های ورزشی[۲۱] را کاهش می‌دهد. همچنین گزارش شده است که این ماده، اروژن مینا در ترکیب با ابرژن ناشی از مسواک (pH = ۳) را کاهش می‌دهد[۳]. در یک مطالعه آزمایشگاهی نیز نشان داده شده است که سایش اتریشن عاج با کاربرد مداوم CPP-ACP تقریباً حذف می‌شود و با کاربرد متناوب آن، سایش عاج در محیط‌های اسیدی (اسید کلریدریک با pH = ۳) و نزدیک به خنثی (آب مقطر با pH = ۶/۱) کاهش می‌یابد[۱۷].

با توجه به این یافته‌ها، انجام مطالعه‌ای که اثر CPP-ACP بر اتریشن مینا در محیط اسیدی را بررسی کند، جالب به نظر می‌رسد. هدف از این مطالعه، تعیین اثر CPP-ACP بر میزان کاهش سایش مینا در شرایط *in vitro*، که اتریشن (نیروی ۳۰۰ گرم) را در ترکیب با اروژن (pH = ۳) تقلید می‌کند، بود. فرضیه اولیه مطالعه آن بود که کاربرد CPP-ACP میزان سایش مینا را کاهش می‌دهد.

مواد و روش‌ها

تهیه نمونه‌های مینایی: نمونه‌های انتخابی، ۱۸ عدد دندان پره‌مولر بالغ کشیده شده به دلایل ارتودونتسی بود. دندان‌های سالم، بدون پوسیدگی، هیپوپلازی، شکستگی و بدشکلی تاجی انتخاب شدند. دندان‌ها پس از پاک کردن دربری‌ها و شستن توسط نرم‌مال سالین در محلول ۰/۲ درصد تیمول به مدت ۲۴ ساعت و سپس در آب مقطر و در دمای اتاق نگهداری شدند. در زیر استریومیکروسکوپ (MGC، N9116734, Russia) با بزرگنمایی^۴ نمونه‌های بدون Crack انتخاب شد. سپس، هر دندان در جهت باکولینگوال دونیم شد؛ بدین صورت که از راس کاسپ باکال با دیسک دو طرفه الماسی با ضخامت ۰/۱۵ میلی‌متر no. 943, Miniflex diamond disk, Brasseler, (Lemgo, Germany) و جریان مداوم آب (جهت کنترل دما)

سایش دندان یک عارضه چند عاملی است که شامل تأثیر متقابل اتریشن، اروژن و ابرژن می‌باشد. تحت شرایط ویژه و در برخی افراد، سایش دندان در طول زمان می‌تواند بیش از حد و در نتیجه پاتولوژیک باشد و منجر به افزایش حساسیت دندان و اکسپوز پالپ شود[۲، ۱]. مطالعات اپیدمیولوژیک اخیر، افزایشی در شیوع اروژن دندانی را نشان می‌دهد[۴، ۳]. شایع‌ترین گروه‌های سنی در گیر، کودکان و نوجوانان هستند[۴] و رژیم غذایی اسیدی، شایع‌ترین فاکتور خارجی ایجاد کننده اروژن در این گروه سنی است[۵، ۴]. اتریشن همراه با اروژن یک پدیده بالینی شایع است و اغلب به عنوان علت سایش شدید دندانی در نظر گرفته می‌شود[۶].

پیشنهاد شده است که کنترل بالینی سایش دندان، قبل از به کارگیری روش‌های ترمیمی پیچیده، باید بر تشخیص اولیه و پیش‌گیری متمرکز شود[۷]. اگرچه نقش پیش‌گیرانه فلوراید در پوسیدگی‌های دندانی مشخص است ولی در مورد نقش آن در اروژن اختلاف نظر وجود دارد؛ البته در اکثر مطالعات اخیر، پیشرفت اروژن با کاربرد ترکیبات فلوراید کاهش نشان داده است[۸-۱۲]. مطالعات گذشته نشان می‌دهند که فلوراید موضعی می‌تواند مینا و عاج را در برابر اروژن[۹-۱۲] و ترکیب اروژن و ابرژن محافظت کند[۱۳-۱۵]؛ ولی در برابر اتریشن سطوح مینایی و عاجی مقابله یکدیگر اثر محافظتی ندارد[۶]. به همین دلیل است که به استراتژی‌های پیش‌گیری کننده اروژن در ترکیب با اتریشن نیاز می‌باشد.

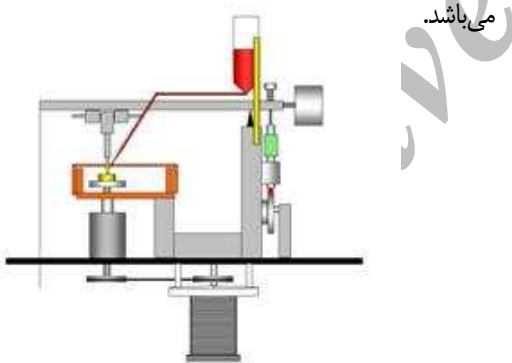
نایت‌گارد شایع‌ترین وسیله مورد استفاده برای پیش‌گیری از اتریشن است. استفاده از یک ماده لوبریکنت در حد فاصل سایش نیز یک روش پیش‌گیری جایگزین محسوب می‌شود. برای مثال، Kaidonis و همکاران نشان دادند که کاربرد لوبریکنت پودر کلسیم فلوراید و کلسیم فلوراید و روغن زیتون، سایش مینا را در مقایسه با عدم کاربرد لوبریکنت کاهش می‌دهد[۱۶].

نتایج مطالعه Ranjitkar و همکاران نشان می‌دهد که کاربرد مداوم GC Tooth Mousse، در مقایسه با کاربرد متناوب آن، باعث کاهش بیشتری در سایش عاج می‌شود که نشانگر مؤثرتر بودن خاصیت لوبریکنت GC Tooth Mousse نسبت به خاصیت رمینرالیزه کننده آن در کاهش اروژن است[۱۷].

استریومیکروسکوپ اندازه‌گیری شد. برای پیش‌گیری از میکروکرک (Micro crack)، تمامی نمونه‌ها حین و بعد از آماده سازی، در آب مقطر در دمای اتاق نگهداری شدند.

تهیه دیسک‌های سرامیکی: در مقابل کاسپ‌های مینایی، نمونه‌های سرامیکی (IPS e.max Press, Ivoclar vivadent, Liechtenstein) گلیز شده به شکل دیسک‌هایی به قطر ۱۰ و ارتفاع ۲ میلی‌متر قرار گرفتند. به منظور یکسان سازی زبری نمونه‌های سرامیکی ($1/10$ میکرون \pm)، زبری آن‌ها با پروفیلومتر (SM7, Germany) اندازه‌گیری شد؛ سپس نمونه‌ها در آکریل شفاف مانت شد.

خصوصیات ماشین سایش دندانی: دستگاه سایش مورد استفاده نوعی از دستگاه Pin on disk wear model بود (شکل ۳). در این دستگاه، حامل نمونه‌ها می‌تواند به طور همزمان ۲ نمونه را سایش دهد (شکل ۴). دستگاه سایش شامل دو عدد دیسک گردان و فیکسچرهای نگهدارنده نمونه است. فیکسچرهای نگهدارنده نمونه، متحرک استن و این قابلیت را دارد که در شعاع‌های مختلف دیسک، حرکت سایش را انجام دهد. از دیگر مزایای این دستگاه، ثبت همزمان ضربه اصطکاک دینامیک می‌باشد.



شکل ۳. دستگاه تست سایش دندانی



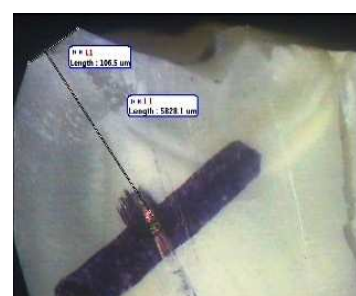
شکل ۴. قرارگیری همزمان ۲ نمونه در دستگاه سایش

به موازات محور طولی دندان برش داده شد. سپس از نمونه‌ها با دوربین متصل به استریومیکروسکوپ عکس گرفته شد و با نرم‌افزار 2.0 (Motic Images Plus) زاویه بین دو شیب کاسپی اندازه‌گیری گردید و نمونه‌های با زاویه بین دو شیب کاسپی $1 \pm 90^\circ$ درجه انتخاب شدند (شکل ۱). هر نیمه دندان، جهت تسهیل قرار گیری در فیکسچر دستگاه سایش، در زین آکریلی Flash Acrylic، Yates Motloid، Chicago، (II) مانت شد.



شکل ۱. انتخاب نمونه با شیب بین کاسپی حدود 90° درجه

نمونه‌ها در دستگاه سایش، تحت نیروی 100 gcm^{-2} تا 200 gcm^{-2} سیکل بسته به ژئومتری کاسپ قرار گرفتند؛ تا جایی که رأس هر کاسپ از حالت نقطه‌ای به یک خط صاف $1/9-1$ میلی‌متری تبدیل شد (شکل ۲). این عمل، باعث یکسان سازی سطح تماس نمونه‌های دندانی با نمونه سرامیکی می‌شود و لایه بدون منشور مینا را، که یک ساختار متغیر در سطح دندان‌های دائمی است و تمايل به تغییر هاردنس بین افراد دارد، بر می‌دارد [۱].



شکل ۲. شکل نمونه بعد از 200 سیکل و ایجاد سطح 1 میلی‌متری در رأس کاسپ

سپس، روی سطح صاف دندان، در 5 میلی‌متری رأس کاسپ و عمود بر آن، با مارکر نازک (Staedler, Germany) یک خط افقی به عنوان خط مرجع رسم کردیم. قبل از قرار دادن هر نمونه مینایی در دستگاه سایش، ارتفاع کاسپ از رأس آن تا خط مرجع توسط

گرفتند؛ به این صورت که خمیر تازه از تیوب خارج شد و بدون آماده سازی بیشتر، توسط میکروپرس به صورت لایه‌ای به ضخامت ۱ میلی‌متر، به مدت ۱۵ دقیقه، به طور مستقیم در تماس با نمونه قرار گرفت. سپس نمونه‌ها به مدت ۲ دقیقه شسته و به مدت ۱۵ ثانیه خشک شد و در دستگاه سایش، به میزان ۱۰۰۰ سیکل سایش یافت. آن گاه، دستگاه سایش خاموش شد و نمونه‌ها به مدت ۳۰ ثانیه با پوار آب شسته و به مدت ۱۵ ثانیه با پوar هوا خشک گردید و توسط استریومیکروسکوپ ارتفاع آن‌ها اندازه‌گیری شد. این پروتوكول درمانی، تکرار شد و بار دیگر، نمونه‌ها برای ۱۰۰۰ سیکل بعدی در دستگاه سایش قرار گرفت؛ روند ذکر شده تا تکمیل ۵۰۰۰ سیکل (در کل ۵ بار) تکرار گردید و در هر بار، قبل از شروع ۱۰۰۰ سیکل بعدی، دیسک سرامیکی تمیز شد و دوباره ۳ میلی‌لیتر اسید سیتریک بر سطح آن قرار گرفت. در فواصل روشن بودن دستگاه سایش، به طور همزمان، نمودار ضریب اصطکاک نمونه دندانی با دیسک سرامیکی بر حسب مسافت طی شده، توسط لودسل، کارت دیتالاگر و نرم افزار مربوط، در کامپیوتر ثبت گردید.

در گروه شاهد نیز نمونه‌ها با پروتوكول مشابهی تحت سایش قرار گرفتند؛ با این تفاوت که، خمیر GC Tooth Mousse داده‌ها در نرم‌افزار آماری SPSS^{11.5} وارد شد. ابتدا نرمال بودن توزیع داده‌ها با استفاده از آزمون Kolmogorov-Smirnov شد؛ سپس، داده‌ها با آزمون‌های t-test و آنالیز واریانس داده‌های مکرر (Repeated Measure ANOVA) آنالیز گردید. $p < 0.05$ به عنوان سطح معنی‌داری در نظر گرفته شد.

یافته‌ها

آزمون t-test نشان داد که میانگین میزان سایش مینا در هر ۱۰۰۰ سیکل، در گروه آزمایش به میزان قابل توجهی کمتر از گروه شاهد بود ($p = 0.004$) (جدول ۱).

جدول ۱. شاخص‌های میزان سایش مینا در هر ۱۰۰۰ سیکل

گروه	معیار	میانگین	تعداد	شاخص انحراف	کمینه	بیشینه
شاهد	۶۱/۷۰	۴۵/۸۶	۴/۵۴	۵۳/۲۴۶۷	۹	
آزمایش (CPP-ACP)	۶۰/۴۴	۲۶/۷	۹/۸۴	۳۹/۰۹	۹	

الکترو موتور دستگاه، ۷۵۰ وات قدرت دارد و ۱۴۰۰ دور بر دقیقه می‌چرخد. گیربکس نسبت $\frac{1}{12}$ ، دور موتور را تا ۱۲۰ دور بر دقیقه کاهش می‌دهد.

نحوه انجام آزمون سایش: نمونه‌ها تحت شرایط کنترل شده، با حرکت دورانی در یک مسیر دایره‌ای به قطر ۳ میلی‌متر، با سرعت $۰/۰۱\text{ m/s}$ و ۸۰ سیکل در دقیقه، تحت نیروی ثابت ۳ کیلوگرم طی ۵۰۰۰ سیکل، به منظور تقلید اتریشن در مقابل یکدیگر، در دستگاه سایش سایده شدن. جهت تقلید رژیم غذایی اسیدی، از لوبریکنت اسید سیتریک با $\text{pH} = ۳$ و تیتر $۰/۰۱$ مول استفاده شد.

نمونه‌های دندانی در بخش فوقانی ثابت دستگاه و دیسک‌های سرامیکی در بخش تحتانی متحرک دستگاه سایش فیکس شدند. رأس کاسپ دندان قبل از روشن کردن دستگاه، عمود بر دیسک سرامیکی قرار گرفت (شکل ۵). در ابتدای هر ۱۰۰۰ سیکل، ۳ میلی‌لیتر اسید سیتریک $۰/۰۰۱$ مولار (اسید سیتریک، قطران شیمی، ایران) با سرنگ بر سطح نمونه سرامیکی قرار گرفت؛ به طوری که کاسپ دندان حین عمل سایش به طور کامل در اسید غوطه‌ور بود. هر دیسک سرامیکی پس از انجام یک تست سایش کامل (۵۰۰۰ سیکل) تعویض شد.



شکل ۵. عمود قرار گرفتن نوک کاسپ بر سطح سرامیک

اندازه‌گیری سایش مینا: میزان سایش مینا با اندازه‌گیری ارتفاع کاسپ از رأس آن تا خط مرجع، بعد از هر ۱۰۰۰ سیکل، توسط استریومیکروسکوپ با بزرگنمایی $۱۶\times$ بر حسب میکرون (با دقت $۰/۱$) اندازه‌گیری شد.

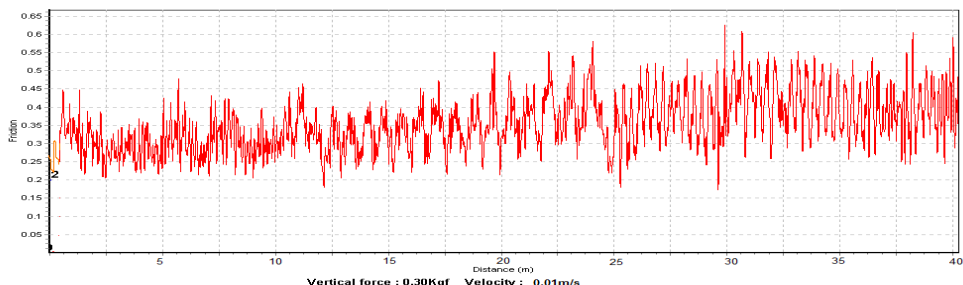
گروه‌بندی و آنالیز آماری: ۱۸ نمونه دندانی، به صورت تصادفی در ۲ گروه مساوی ($n = 9$) قرار گرفتند. در گروه آزمایش، نمونه‌ها تحت تأثیر خمیر Recaldent) GC Tooth Mousse (Tooth Mousse, GC Corporation, Tokyo, Japan قرار

معنی‌داری بر یکدیگر دارد ($p = 0.001$). آزمون t -test نشان داد که درمان با خمیر GC Tooth Mousse اثر معنی‌دار خود را از همان ۱۰۰۰ سیکل اولیه نشان می‌دهد ($p = 0.001$).

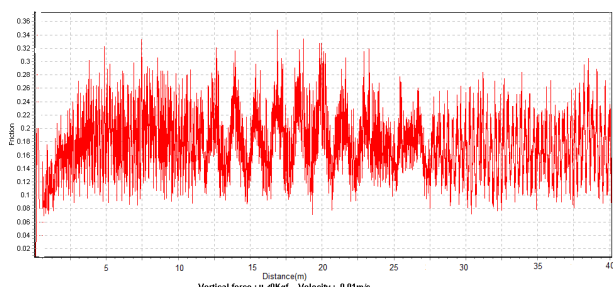
نمودارهای ثبت شده ضریب اصطکاک، بر حسب مسافت طی شده در نمونه‌ها، نشانگر کاهش ضریب اصطکاک در گروه GC Tooth Mousse نسبت به گروه شاهد بود (نمودارهای ۱ و ۲).

نتایج حاصل از آنالیز واریانس داده‌های مکرر (Repeated Measure ANOVA) اثر قابل توجه تعداد سیکل بر سایش مینا را نشان داد ($p < 0.001$). این بدان معنی است که با افزایش تعداد سیکل، به طور معنی‌داری میزان سایش مینا افزایش می‌یابد.

همچنین، نتایج بیانگر آن بود که نوع درمان (استفاده یا عدم استفاده از CPP-ACP) و تعداد سیکل اثر متقابل



نمودار ۱. نمودار ضریب اصطکاک پر حسب مسافت طی شده در گروه شاهد (در دامنه ۰/۵۵ تا ۰/۰۵ متفاوت)



نمودار ۲. نمودار ضریب اصطکاک بر حسب مسافت طی شده در گروه آزمایش (در دامنه ۰/۰۹ تا ۰/۲۸ متفاوت)

همچنین، جهت کاربرد مقدار نیروی اعمال شده به دندان طی پروسه اتریشنس، اطلاعات کمی در متون وجود دارد. در مطالعات قبلی بر اتریشنس، نیروی به کار رفته بین ۲-۱۶۲ نیوتن بوده است[۱۶، ۱]؛ در این مطالعه نیز نیروی معادل ۳ کیلوگرم نیرو انتخاب شد.

در مطالعات انجام گرفته بر اتریشنس، از فرکانس سایش در محدوده ۱ تا ۱۰۰ سیکل در دقیقه استفاده شده است[۲۳، ۲۴]؛ ولی جهت حفظ ثبات و به حداقل رساندن اثر استرس فشاری، در اکثر مطالعات، فرکانس ۸۰ سیکل در دقیقه به کار رفته است که یک تخمین معقولانه‌ای برای Rate سیکل جویدن می‌باشد[۲۵]. در این مطالعه، در مقابل کاسپ‌های مینایی، به جای نمونه‌های مینایی مسطح، از دیسک‌های سرامیکی e.max

بحث

در این مطالعه، دستگاه سایش تلاش می‌کرد که سیکل جویدن کلینیکی (نیروی ۳ کیلوگرم و ۸۰ سیکل در دقیقه) و رژیم غذایی اسیدی (ماده بینایینی اسید سیتریک با $\text{pH} = ۳$) را تقلید کند، اما تقلید کامل توسط دستگاه سایش هرگز به دست نمی‌آید.

در این مطالعه، کل دوره سایش در ۱ ساعت انجام گرفت؛ چرا که در آزمایشات ارزیابی اتریشنس با لوبریکنت اسیدی، زمان اکسپوژر به لوبریکنت به کمتر از ۱ ساعت محدود می‌شود تا اثر مستقیم اسید و ایجاد تورش (Bias) در اندازه‌گیری میزان از دست رفتن مینا تحت نیروهای دینامیک به حداقل برسد[۲۲].

اطلاعات موجود در مورد اثر ماده رمینترالیزه کننده بر پیش‌گیری از اتریشنس دندان در ترکیب با ار وزن محدود است.

نتایج مطالعه Ranjitkar و همکاران[۱۷] نشان می‌دهد که کاربرد مداوم GC Tooth Mousse در مقایسه با کاربرد متناوب آن باعث کاهش بیشتری در سایش عاج می‌شود که نشانگر مؤثرتر بودن خاصیت لوبریکتی این ماده نسبت به خاصیت رمینرالیزه کننده آن در کاهش اروژن است. فرض بر آن است که نانوکمپلکس CPP-ACP و دیگر محتويات GC Tooth Mousse (مثل گلیسیرول) لوبریکیشنی در سطح سایش ایجاد می‌کنند؛ بررسی نتایج حاصل از نمودار ضریب اصطکاک در گروه آزمایش در مطالعه حاضر نیز این فرضیه را تأیید می‌کند. از آن جایی که ضریب اصطکاک با زبری سطوح در تماس نسبت مستقیم دارد، می‌تواند به خوبی اثر لوبریکت مواد استفاده شده بر نمونه دندانی را نشان دهد.

در این مطالعه، درمان در گروه آزمایش اثر معنی‌دار خود را از همان ۱۰۰۰ سیکل اولیه نشان داد که می‌تواند این گونه تعییر GC Tooth Mousse شود که یک بار کاربرد ۱۵ دقیقه‌ای جهت ایجاد مقاومت در مینا نسبت به سایش کافی است؛ اگر چه تکرار دوره‌های کاربرد این ماده می‌تواند مقاومت به سایش دندان را بیشتر افزایش دهد.

جدول ۲. میانگین سایش مینا (میانگین \pm انحراف معیار) بعد از هر

۱۰۰۰ سیکل

شاهد	آزمایش (CPP-ACP)	گروه دور	تعداد دور
۹۲/۶۵ \pm ۷/۴۸	۷۵/۱۷ \pm ۲۲/۳۴		۱۰۰
۷۱/۵۴ \pm ۱۳/۱۴	۴۷/۷۶ \pm ۱۰/۳۴		۲۰۰
۴۲/۳۲ \pm ۶/۹۵	۳۶/۹۸ \pm ۸/۴۷		۳۰۰
۳۸/۶۲ \pm ۱۱/۹۸	۲۱/۶۶ \pm ۱۲/۹۵		۴۰۰
۲۱/۰۸ \pm ۱۰/۴۷	۱۳/۸۳ \pm ۸/۴۶		۵۰۰

میزان سایش مینا دو فاز دارد؛ فاز اولیه که سایش سریع است و فاز ثانویه که سایش آهسته‌تر و پایدار است[۳۰]. در این مطالعه نیز میزان سایش مینا در مراحل اولیه تا ۱۰۰۰ سیکل به سرعت افزایش یافت و بعد از آن، به تدریج با زمان کاهش یافت؛ علت می‌تواند این باشد که در مراحل اولیه، سطح تماس بین کاسپ دندان و نمونه سرامیکی کوچک است و نیرو به این ناحیه کوچک اعمال می‌شود. وقتی کاسپ یک شکل کوئیکال به خود گرفت، با کاهش ارتفاع دندان به علت سایش، ناحیه سطحی به تدریج

استفاده شد. از آن جا که ترکیب مینا و ساختار کریستالی آن در دندان‌های مختلف و حتی در یک دندان متفاوت است و استاندارد کردن نمونه‌های مینایی عملی نمی‌باشد[۲۳]، کاربرد ماده‌ای مشابه در مقابل تمامی نمونه‌های مینایی، نتایج قابل اطمینان تری ارائه می‌دهد.

در مطالعه حاضر، در گروه آزمایش آهنگ سایش در هر ۱۰۰۰ سیکل به طور معنی‌داری نسبت به گروه شاهد کمتر بود که مشابه نتیجه به دست آمده از مطالعه Ranjitkar و همکاران[۱۸] می‌باشد؛ البته، میزان کاهش سایش در مطالعه Ranjitkar و همکاران ۶۰ درصد و در مطالعه حاضر ۱۵ درصد بوده است که می‌تواند به علت تعداد دفعات مصرف بیشتر CPP-ACP (۶۰ بار مصرف ۴ دقیقه‌ای) و نیز زمان کلی تماس بیشتر CPP-ACP با مینا (۲ ساعت) در مطالعه آنان نسبت به مطالعه حاضر (۵ بار مصرف ۱۵ دقیقه‌ای CPP-ACP و حدود ۱ ساعت تماس) باشد.

Lennon و همکاران[۲۶] در مطالعه‌ای اثر خمیر حاوی کازئین کلسمیم فسفات (CasCP) در حفاظت از مینا در برابر اروژن را بررسی کردند. در این مطالعه نیز مانند مطالعه حاضر، اثر حفاظتی CasCP بیشتر از گروه شاهد بود.

در یک مطالعه In vitro توسط Kumar و همکاران[۲۷]، در یک چرخه ارزیابی، میزان از دست رفتن مینا بعد از کاربرد CPP-ACP کمتر از گروه شاهد بود.

اگرچه مکانیسم CPP-ACP در کاهش سایش دندان نامعلوم است[۲۱، ۲۸]، Ranjitkar و همکاران[۱۸] احتمال داده‌اند که این مسئله به علت اثر لوبریکت و رمینرالیزه کننده CPP-ACP باشد. مطالعات اخیر نشان می‌دهند که خاصیت ضد پوسیدگی- CPP-ACP می‌تواند مسؤول پیش‌گیری از اروژن مینا باشد[۲۸، ۲۱]. همچنین مطالعه‌ای نشان داده است که این ماده می‌تواند میکروهاردنس مینا را افزایش دهد و باعث کاهش اروژن ایجاد شده توسط نوشیدنی‌های کولا شود[۲۸]؛ این یافته نیز بیانگر توانایی CPP-ACP در رمینرالیزاسیون ضایعات ارزیابی می‌باشد[۲۹].

پروسه رمینرالیزاسیون ضایعات ارزیابی نامعلوم است، اما احتمال می‌رود این پروسه به جای رشد مجدد کریستال‌های ارزیاب شده توسط رسوب مواد معدنی در ناحیه متخلف عمل کند[۲۹].

تحت اتریشن کاهش می‌دهد. البته، جهت روش کردن خاصیت رمینeralیزه کننده و لوبریکنت بودن CPP-ACP در پیش‌گیری از سایش دندان و مقایسه تأثیر آن با نایت‌گارد و دیگر عوامل لوبریکنت کننده مثل فلوراید، بzac مصنوعی و غذا و اثر افزایشی روش‌های متفاوت پیش‌گیری از سایش دندان، مطالعات *in situ* و کارآزمایی‌های بالینی مورد نیاز است.

افزایش می‌باید و نیرو در سطح بزرگ‌تری توزیع می‌شود که می‌تواند بیانگر افزایش تدریجی‌تر میزان سایش بعد از ۱۰۰۰ سیکل باشد (جدول ۲).

نتیجه‌گیری

CPP-ACP به طور معنی‌داری سایش مینا را در محیط اسیدی

References

1. Eisenburger M, Addy M. Erosion and attrition of human enamel in vitro part I: interaction effects. *J Dent* 2002; 30(7-8): 341-7.
2. Ranjitkar S, Kaidonis JA, Townsend GC, Vu AM, Richards LC. An in vitro assessment of the effect of load and pH on wear between opposing enamel and dentine surfaces. *Arch Oral Biol* 2008; 53(11): 1011-6.
3. Ranjitkar S, Rodriguez JM, Kaidonis JA, Richards LC, Townsend GC, Bartlett DW. The effect of casein phosphopeptide-amorphous calcium phosphate on erosive enamel and dentine wear by toothbrush abrasion. *J Dent* 2009; 37(4): 250-4.
4. Vieira A, Jager DH, Ruben JL, Huysmans MC. Inhibition of erosive wear by fluoride varnish. *Caries Res* 2007; 41(1): 61-7.
5. Wongkhantee S, Patanapiradej V, Maneenut C, Tantbirojn D. Effect of acidic food and drinks on surface hardness of enamel, dentine, and tooth-coloured filling materials. *J Dent* 2006; 34(3): 214-20.
6. Li H, Watson TF, Sherriff M, Curtis R, Bartlett DW. The influence of fluoride varnish on the attrition of dentine. *Caries Res* 2007; 41(3): 219-22.
7. Lussi A. Erosive tooth wear - a multifactorial condition of growing concern and increasing knowledge. *Monogr Oral Sci* 2006; 20: 1-8.
8. White DJ, Nancollas GH. Physical and chemical considerations of the role of firmly and loosely bound fluoride in caries prevention. *J Dent Res* 1990; 69(Spec No): 587-94.
9. Ganss C, Klimek J, Brune V, Schurmann A. Effects of two fluoridation measures on erosion progression in human enamel and dentine *in situ*. *Caries Res* 2004; 38(6): 561-6.
10. Hove L, Holme B, Ogaard B, Willumsen T, Tveit AB. The protective effect of TiF₄, SnF₂ and NaF on erosion of enamel by hydrochloric acid in vitro measured by white light interferometry. *Caries Res* 2006; 40(5): 440-3.
11. Mok TB, McIntyre J, Hunt D. Dental erosion: in vitro model of wine assessor's erosion. *Aust Dent J* 2001; 46(4): 263-8.
12. Jones L, Lekkas D, Hunt D, McIntyre J, Rafir W. Studies on dental erosion: An in vivo-in vitro model of endogenous dental erosion--its application to testing protection by fluoride gel application. *Aust Dent J* 2002; 47(4): 304-8.
13. Attin T, Zirkel C, Hellwig E. Brushing abrasion of eroded dentin after application of sodium fluoride solutions. *Caries Res* 1998; 32(5): 344-50.
14. Attin T, Deifuss H, Hellwig E. Influence of acidified fluoride gel on abrasion resistance of eroded enamel. *Caries Res* 1999; 33(2): 135-9.
15. Attin T, Siegel S, Buchalla W, Lennon AM, Hannig C, Becker K. Brushing abrasion of softened and remineralised dentin: an *in situ* study. *Caries Res* 2004; 38(1): 62-6.
16. Kaidonis JA, Gratiaen J, Bhatia N, Richards LC, Townsend GC. Tooth wear prevention: a quantitative and qualitative *in vitro* study. *Aust Dent J* 2003; 48(1): 15-9.
17. Ranjitkar S, Narayana T, Kaidonis JA, Hughes TE, Richards LC, Townsend GC. The effect of casein phosphopeptide-amorphous calcium phosphate on erosive dentine wear. *Aust Dent J* 2009; 54(2): 101-7.
18. Ranjitkar S, Kaidonis JA, Richards LC, Townsend GC. The effect of CPP-ACP on enamel wear under severe erosive conditions. *Arch Oral Biol* 2009; 54(6): 527-32.
19. Rees J, Loyn T, Chadwick B. Pronamel and tooth mousse: an initial assessment of erosion prevention *in vitro*. *J Dent* 2007; 35(4): 355-7.
20. Piekarz C, Ranjitkar S, Hunt D, McIntyre J. An *in vitro* assessment of the role of Tooth Mousse in preventing wine erosion. *Aust Dent J* 2008; 53(1): 22-5.

21. Ramalingam L, Messer LB, Reynolds EC. Adding casein phosphopeptide-amorphous calcium phosphate to sports drinks to eliminate in vitro erosion. *Pediatr Dent* 2005; 27(1): 61-7.
22. Kaidonis JA, Richards LC, Townsend GC, Tansley GD. Wear of human enamel: a quantitative in vitro assessment. *J Dent Res* 1998; 77(12): 1983-90.
23. Metzler KT, Woody RD, Miller AW, III, Miller BH. In vitro investigation of the wear of human enamel by dental porcelain. *J Prosthet Dent* 1999; 81(3): 356-64.
24. Clelland NL, Villarroel SC, Knobloch LA, Seghi RR. Simulated oral wear of packable composites. *Oper Dent* 2003; 28(6): 830-7.
25. al Hiyasat AS, Saunders WP, Sharkey SW, Smith GM, Gilmour WH. The abrasive effect of glazed, unglazed, and polished porcelain on the wear of human enamel, and the influence of carbonated soft drinks on the rate of wear. *Int J Prosthodont* 1997; 10(3): 269-82.
26. Lennon AM, Pfeffer M, Buchalla W, Becker K, Lennon S, Attin T. Effect of a casein/calcium phosphate-containing tooth cream and fluoride on enamel erosion in vitro. *Caries Res* 2006; 40(2): 154-7.
27. Kumar VL, Ithagarun A, King NM. The effect of casein phosphopeptide-amorphous calcium phosphate on remineralization of artificial caries-like lesions: an in vitro study. *Aust Dent J* 2008; 53(1): 34-40.
28. Tantbirojn D, Huang A, Ericson MD, Poolthong S. Change in surface hardness of enamel by a cola drink and a CPP-ACP paste. *J Dent* 2008; 36(1): 74-9.
29. Eisenburger M, Addy M, Hughes JA, Shellis RP. Effect of time on the remineralisation of enamel by synthetic saliva after citric acid erosion. *Caries Res* 2001; 35(3): 211-5.
30. al Hiyasat AS, Saunders WP, Smith GM. Three-body wear associated with three ceramics and enamel. *J Prosthet Dent* 1999; 82(4): 476-81.